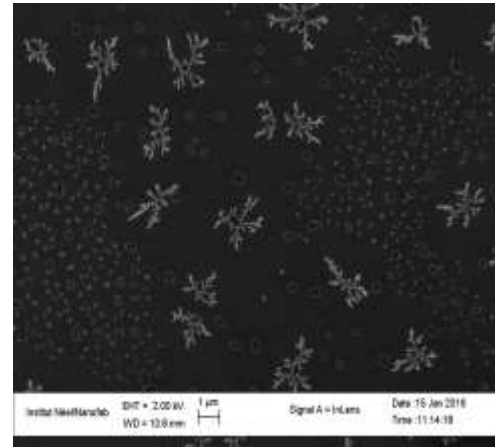
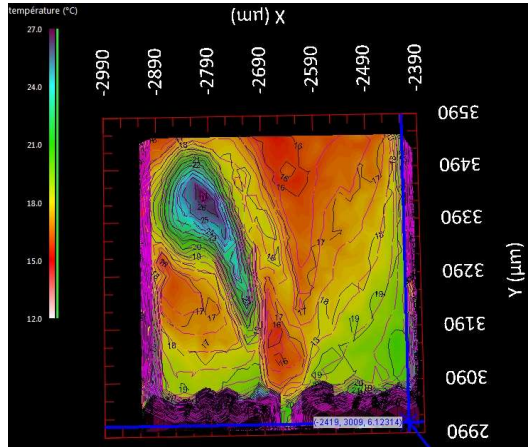


# Cavitation hydrodynamique 'sur puce'

## et histoires de bulles

Aspects fondamentaux → appliqués  
nanosciences -  $\mu$  nano technologies

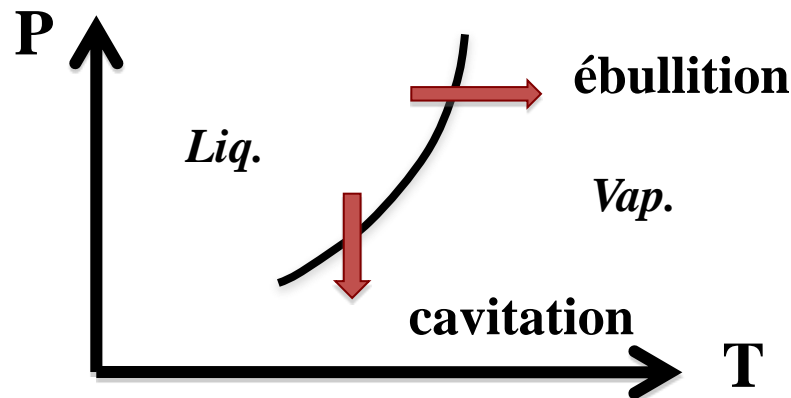


F. AYELA, LEGI

2010 ->

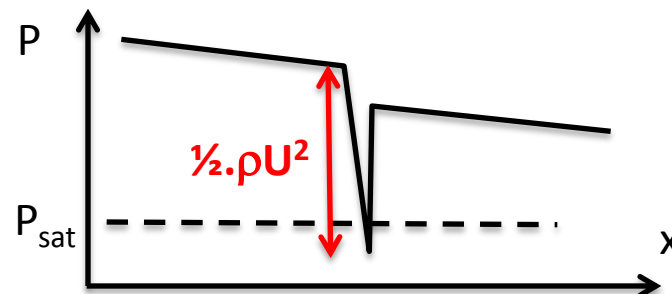
et avec **M. Medrano**, P.J. Zermatten, M. Mohan, S. Mossaz, **D. Colombet**, X. Qiu, W. Cherief

# Cavitation

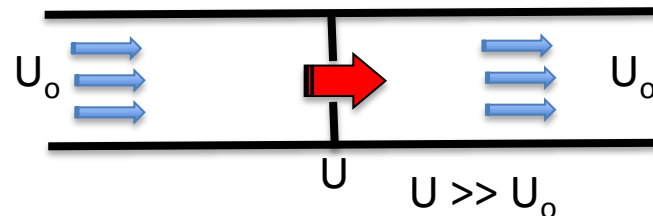
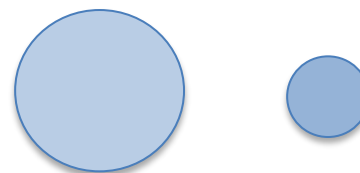


acoustique (ultra sons)

hydrodynamique (Bernoulli)



Autre définition + g<sup>ale</sup> : ↗ et ↘ d'une bulle



$$\text{eau : } \frac{1}{2} \rho U^2 = 1 \text{ bar} \Leftrightarrow U = 14 \text{ m/s}$$

# Plusieurs questions

### **mécanique (onde de choc, érosion)**



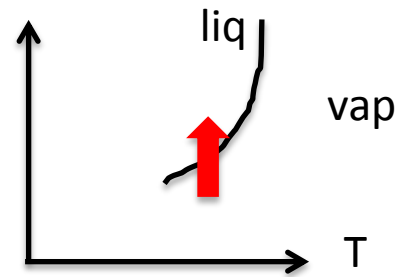
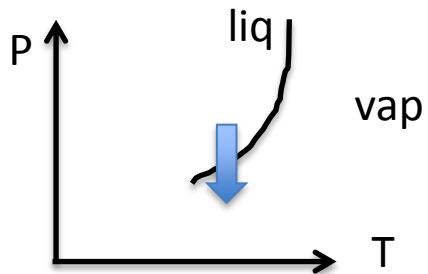
**physique : sonoluminescence :** multi bulles (MBSL)  
mono bulles (SBSL)



## chimie : sonochimie

## *taille et forme des bulles gaz dissous*

## effets thermodynamiques



$$\Delta T = B \cdot \Delta T^* \text{ avec } \Delta T^* = \rho_v L_v / \rho_l c_l$$

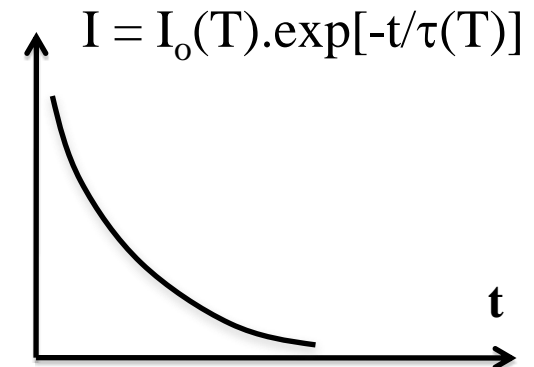
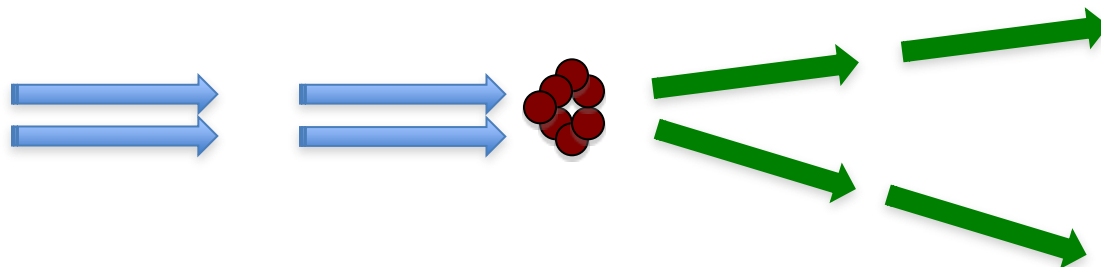
$$\Delta T^\bullet_{\text{eau}} = 0,01 \text{ K}$$

$\Delta T^\bullet_{N2} = 0,6 \text{ K}$  paramètre B = F(modèle)

*encore jamais mesuré directement*

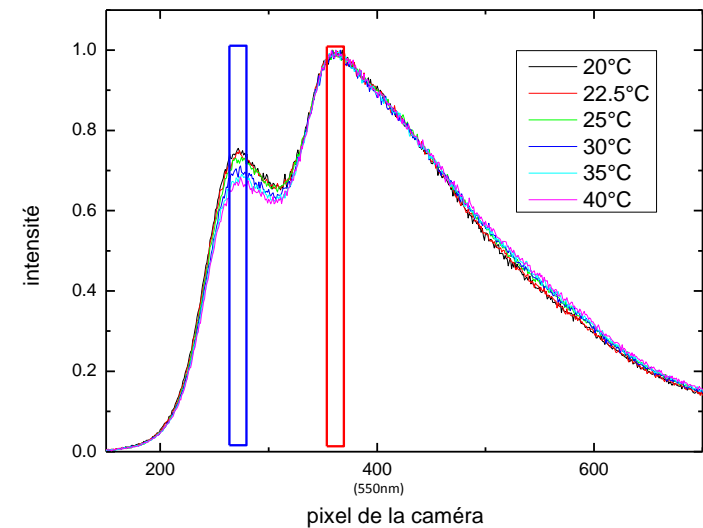
# Mesures thermiques locales (collaboration ILM Lyon)

idée : nanoparticules thermofluorescentes



microscopie confocale

3 directions de l'espace

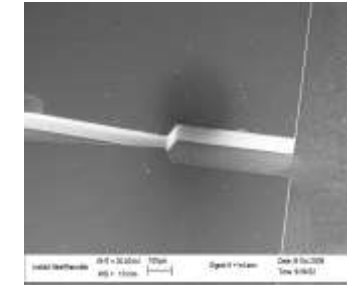
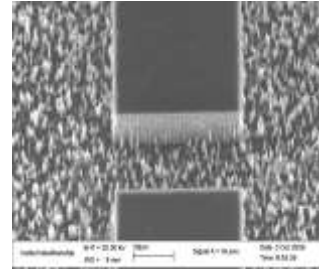
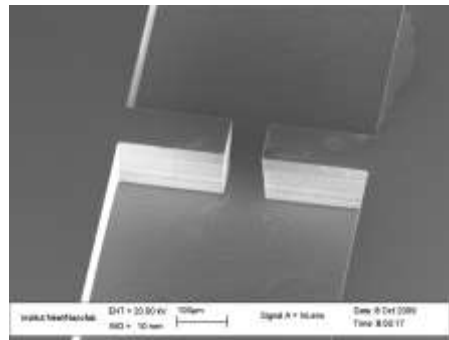


réduction de taille du système (= microsystème fluidique)

cavitation hydrodynamique 'sur puce'

# Différentes géométries

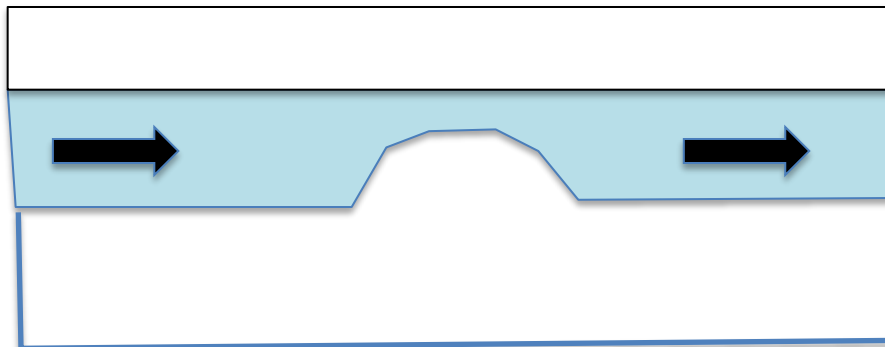
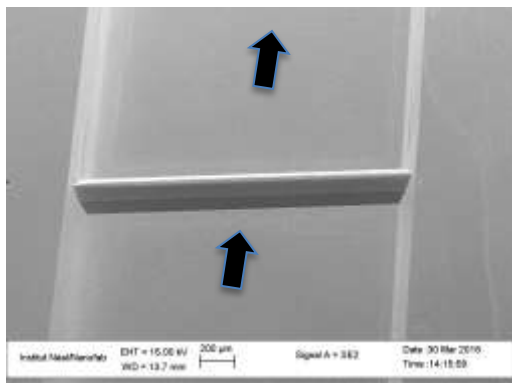
- micro diaphragme
- micro venturi



(deep reactive ion etching)

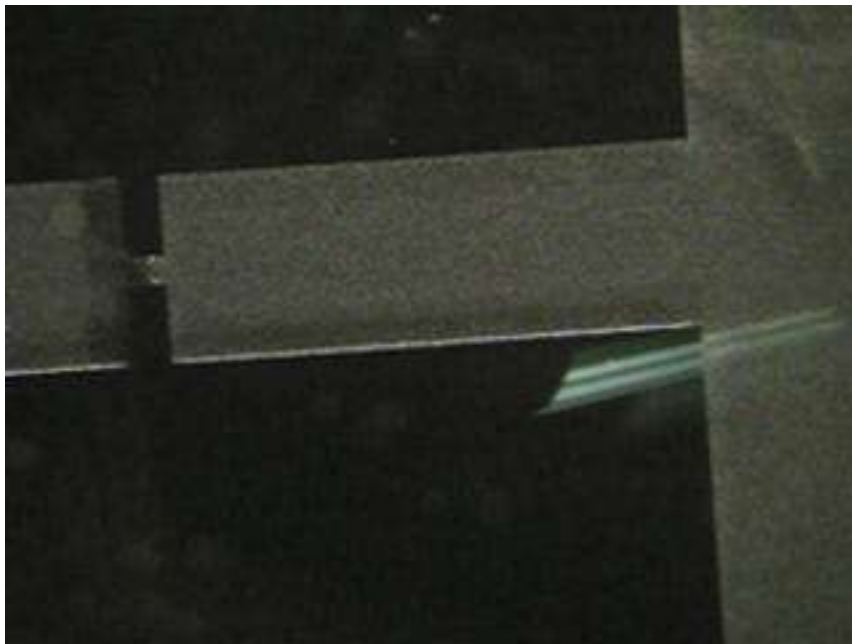
$$Q_{\text{cav}} \approx 1 \text{ l/h pour } \Delta P \approx 5\text{-}6 \text{ bars (diaphragme)}$$
$$\Delta P \approx 3 - 4 \text{ bars (venturi)}$$

- micro marche

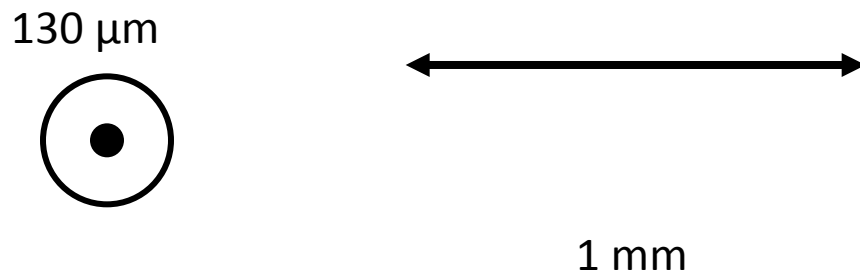


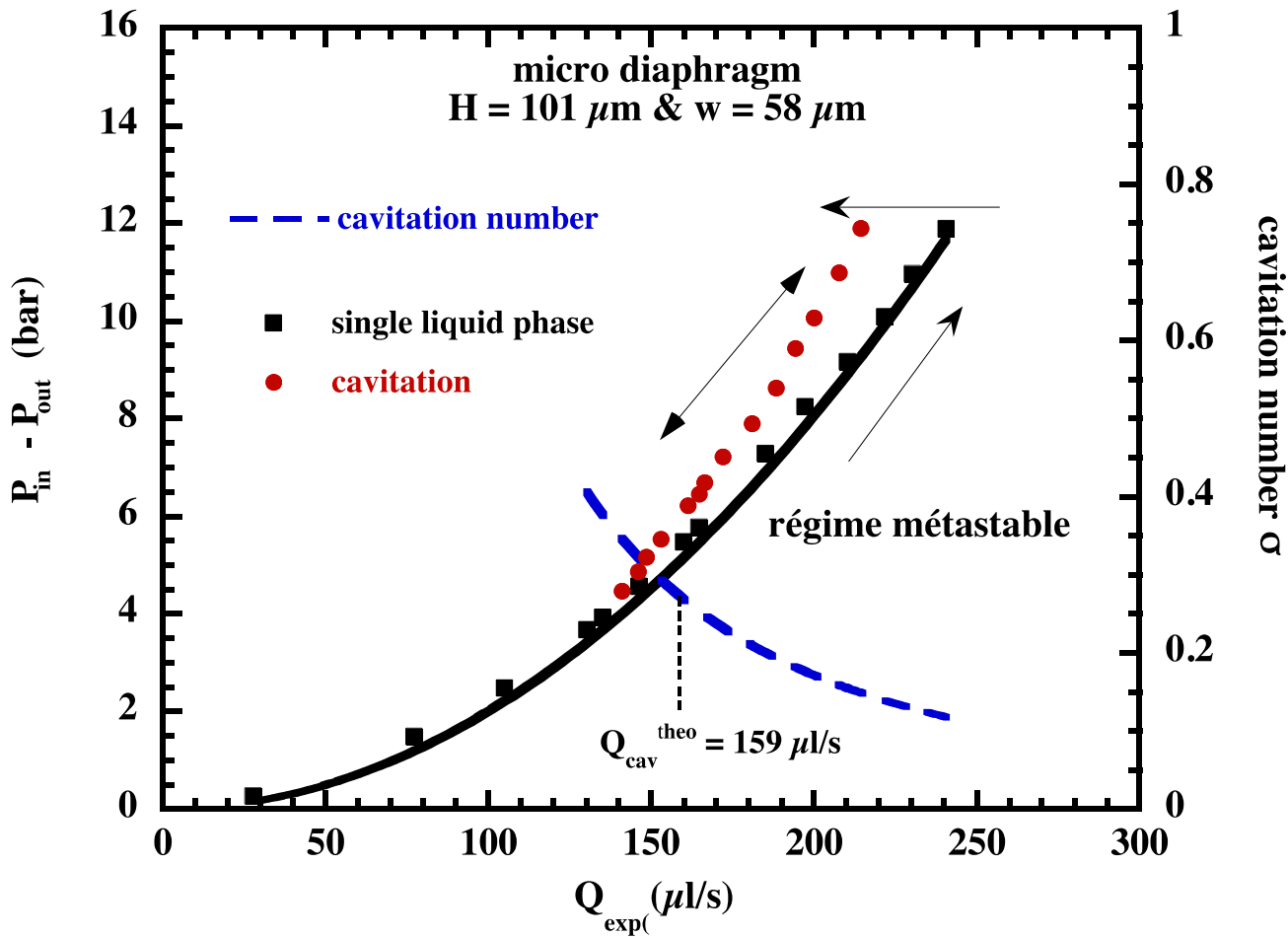
$$Q_{\text{cav}} \approx 5\text{-}10 \text{ l/h pour } \Delta P \approx 5\text{-}8 \text{ bars}$$

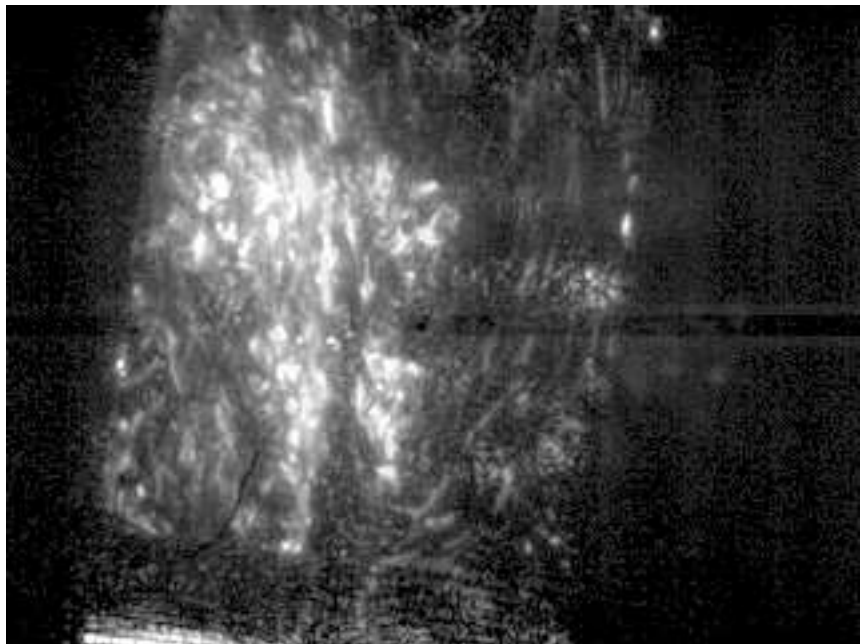
(gravure KOH)



**$\Delta P = 14,6 \text{ bars}$**   
 **$P_{\text{out}} = 1 \text{ bar}$**   
 **$Q \approx 1 \text{ liter/hour}$**   
**DI water**  
**25 frames / s**

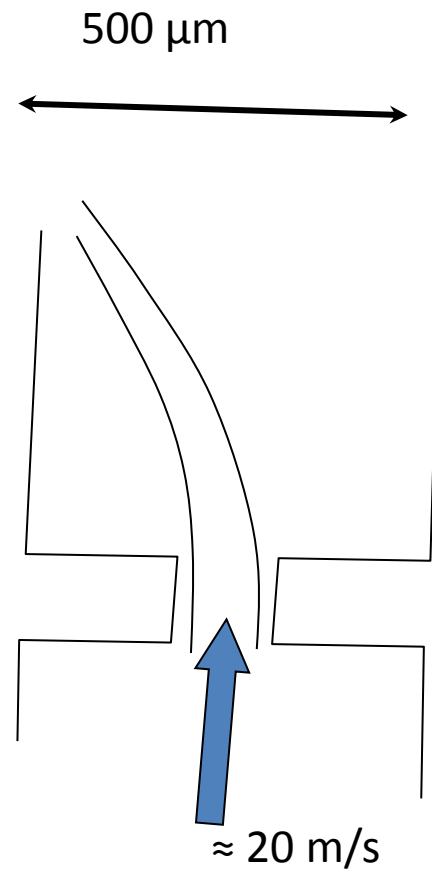


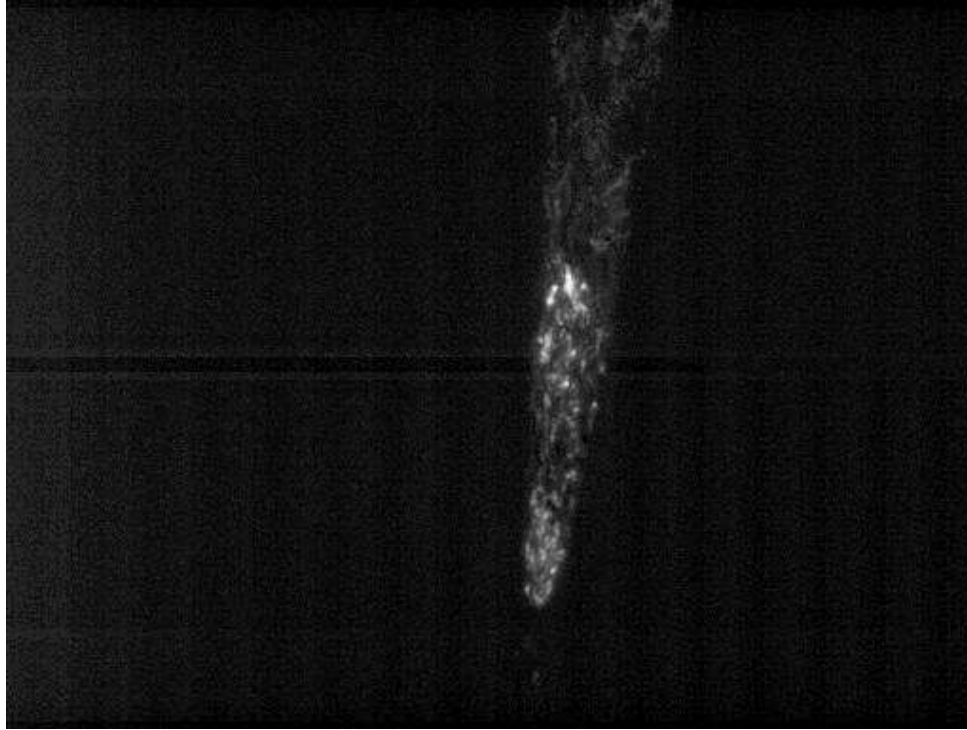




54000 frames / second

Slow motion = 1/7000  
Real time = 8 ms



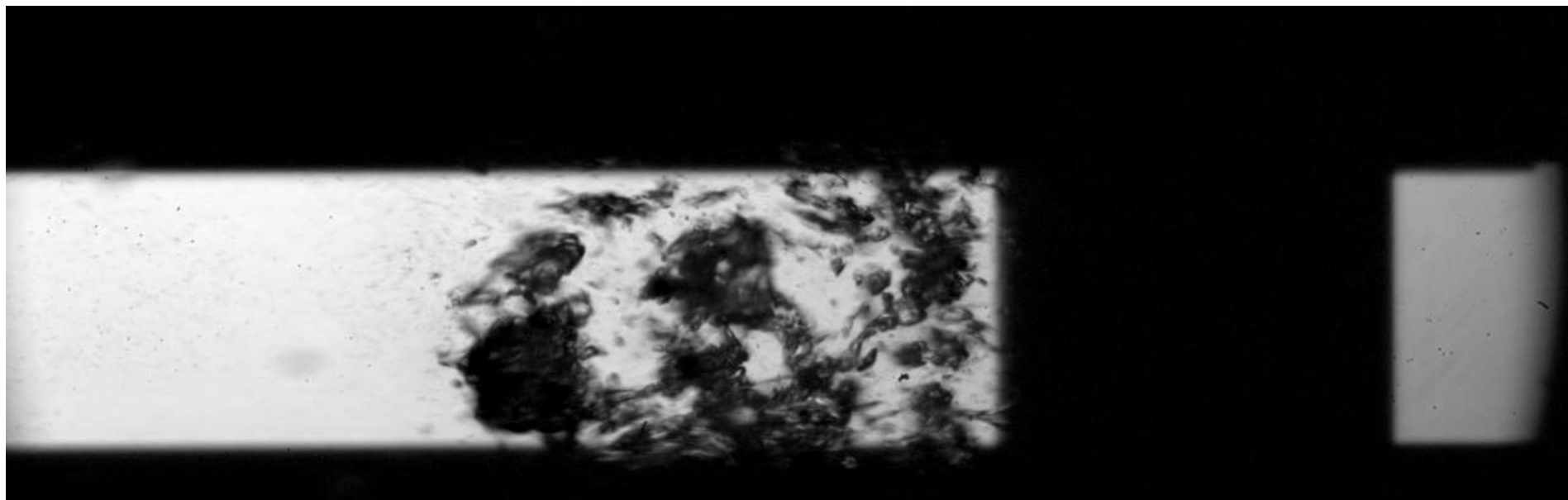


$St_1 = f_1 \cdot L_{cav} / u_o$  = temps jet réentrant /période oscillations ( $4 \cdot 10^{-2}$ )

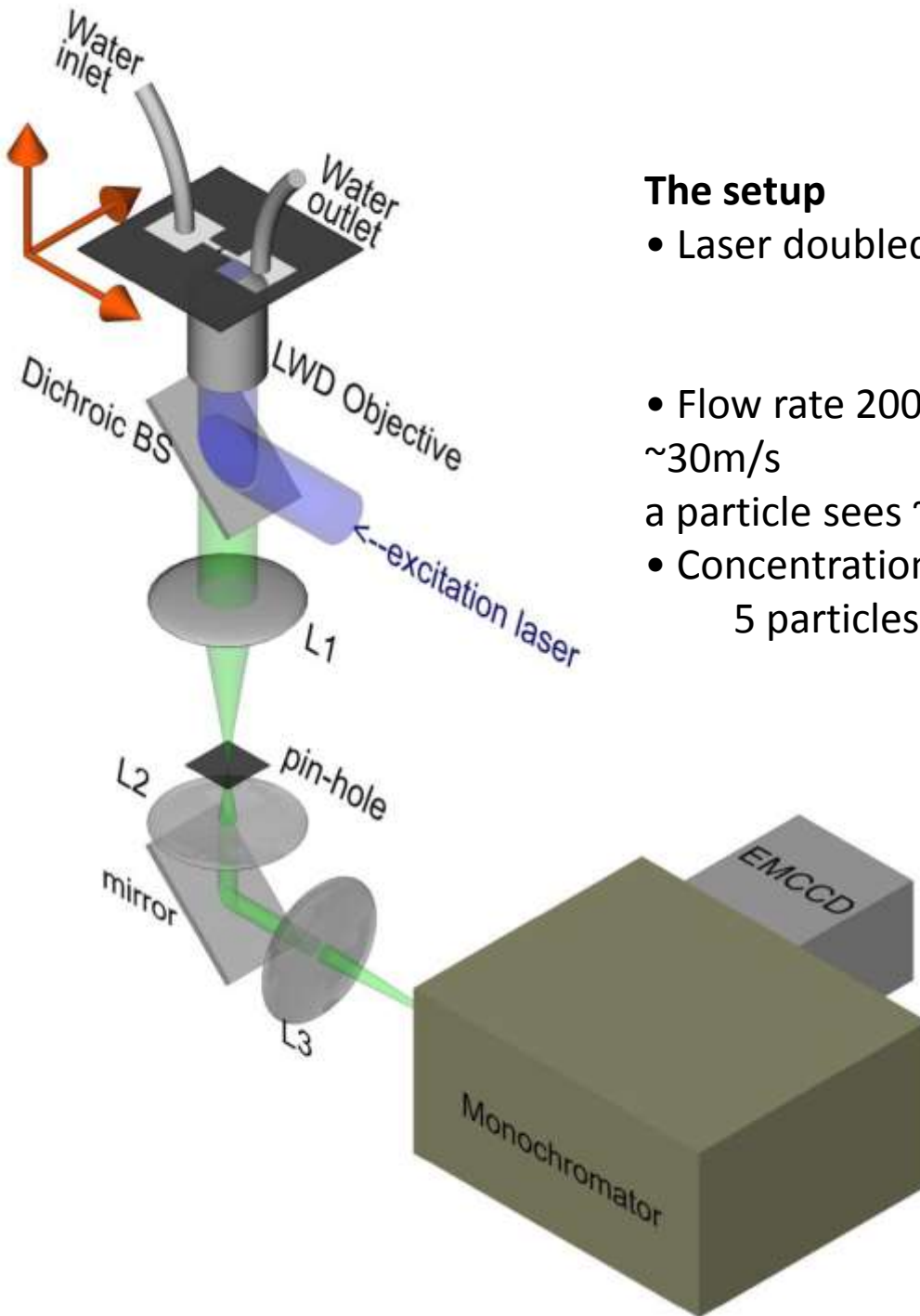
$St_2 = f_2 \cdot L_{cav} / u_o$  = temps jet réentrant /période lachers bulles ( $3 \cdot 10^{-3}$  à  $3 \cdot 10^{-2}$ )

↑  
1 mm  
↓

**$\Delta P = 17 \text{ bars}$ ,  $U = 43 \text{ m/s}$**



(durée réelle : 60 ms)



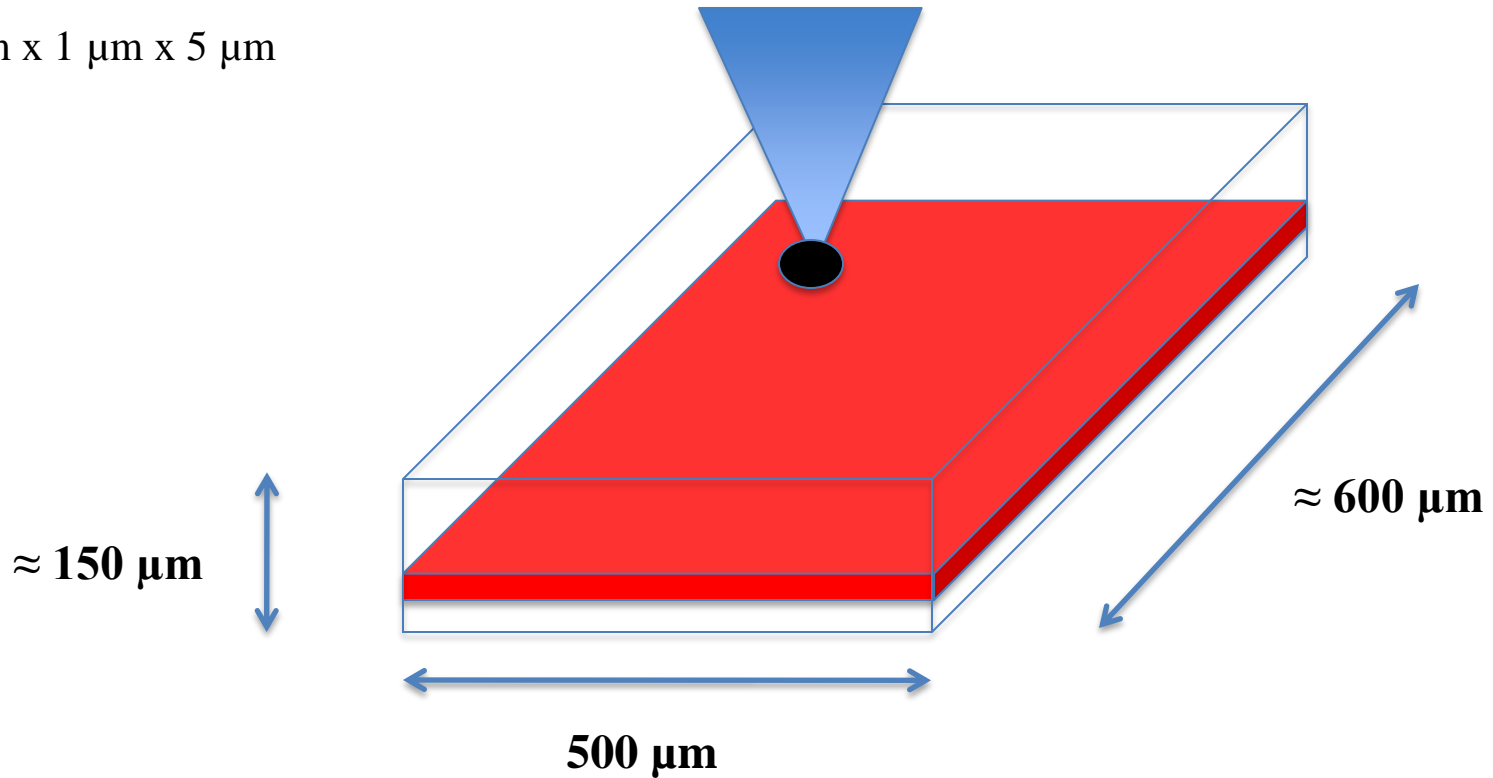
### The setup

- Laser doubled fs TiSa 440nm      300fs  
    80MHz  
    30 $\mu$ W
- Flow rate 200-300 $\mu$ l/s speed of the water  
~30m/s  
a particle sees ~2 laser pulses
- Concentration in particles 1g/l  
5 particles / voxel (2000FITC/voxel)

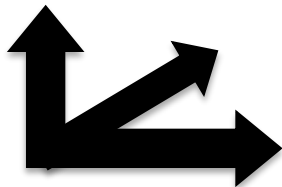
## Cartographies thermiques



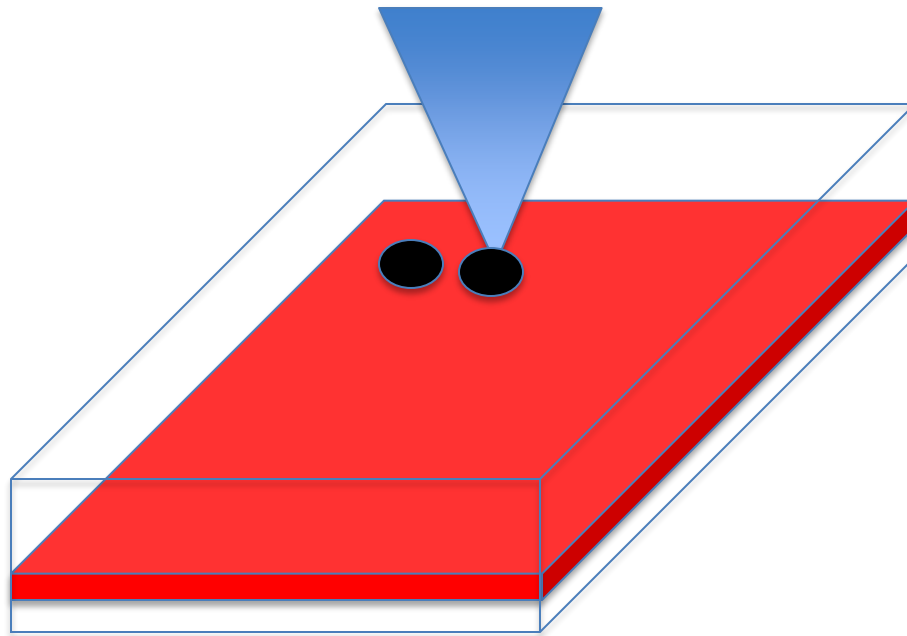
:  $1\text{ }\mu\text{m} \times 1\text{ }\mu\text{m} \times 5\text{ }\mu\text{m}$



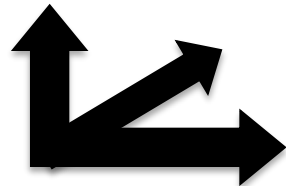
Piezo stage X Y Z

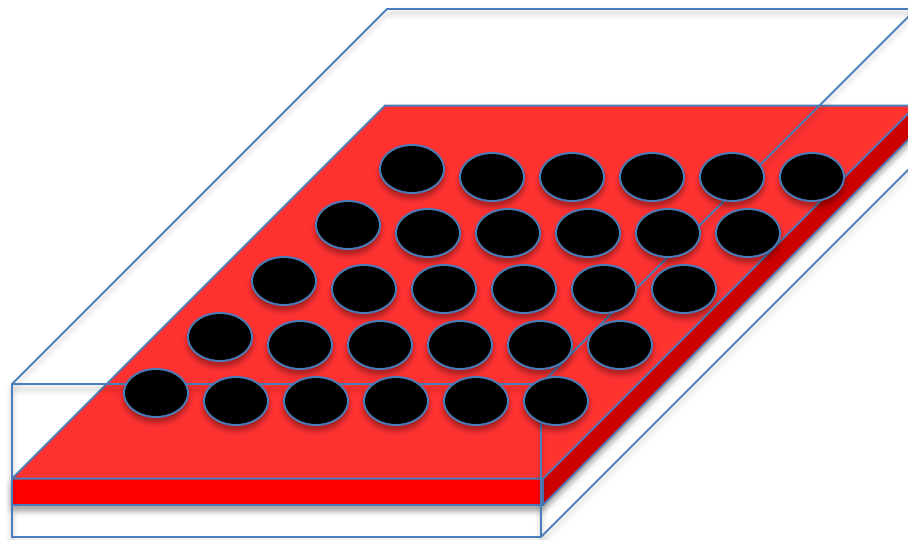


: 1 μm x 1 μm x 5 μm

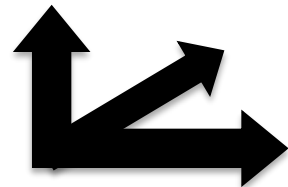


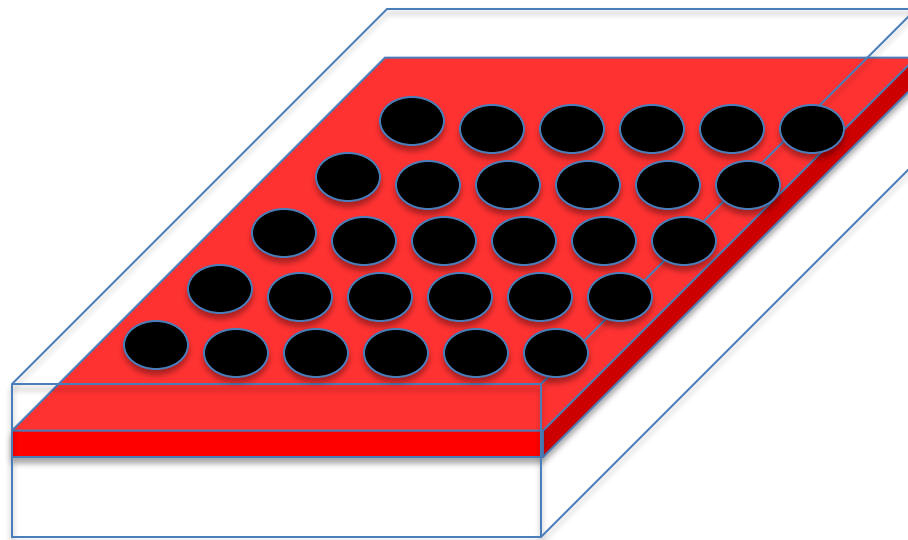
Piezo stage X Y Z



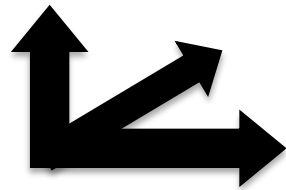


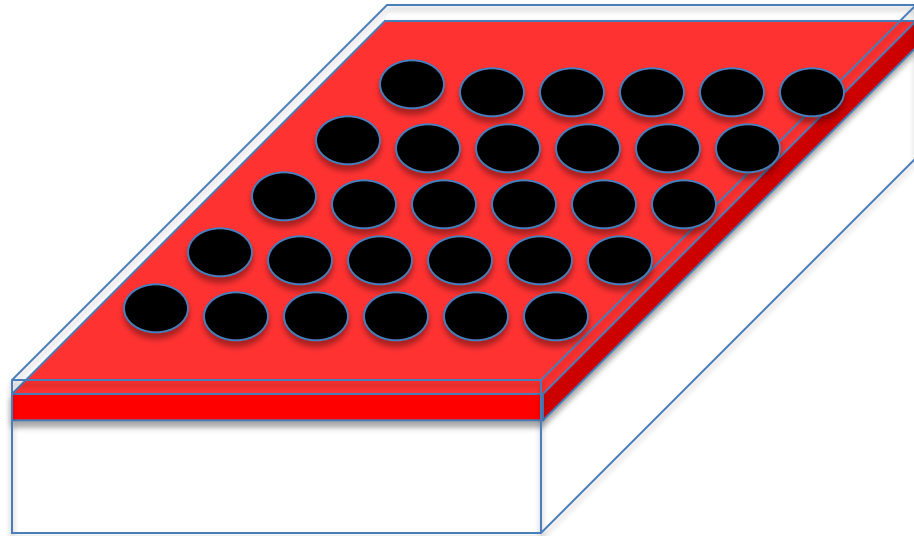
Piezo stage X Y Z



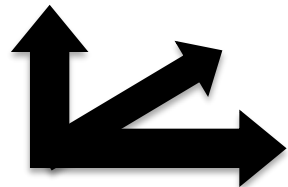


Piezo stage X Y Z





Piezo stage X Y Z



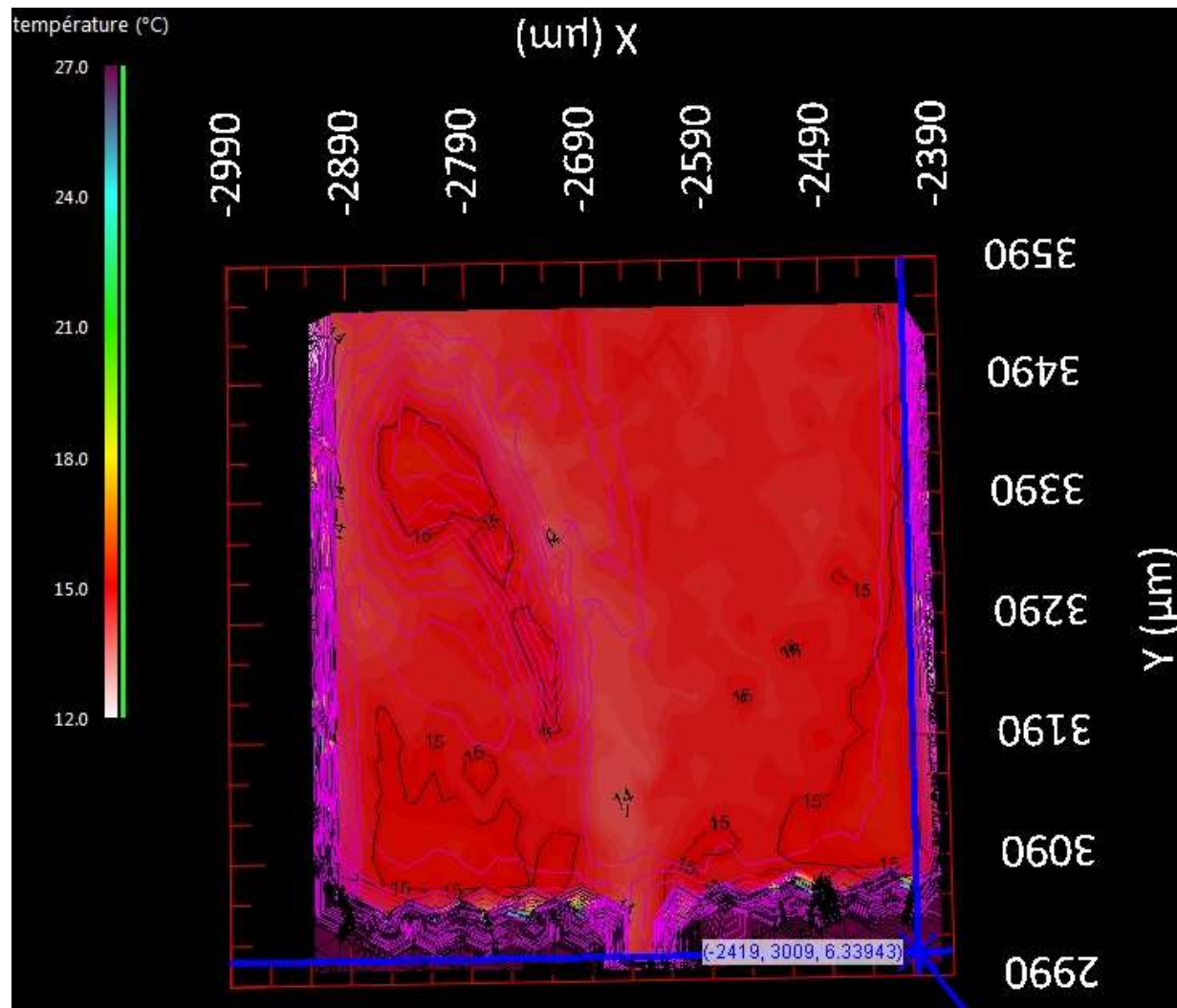
# Thermal mapping

diaphragm downstream

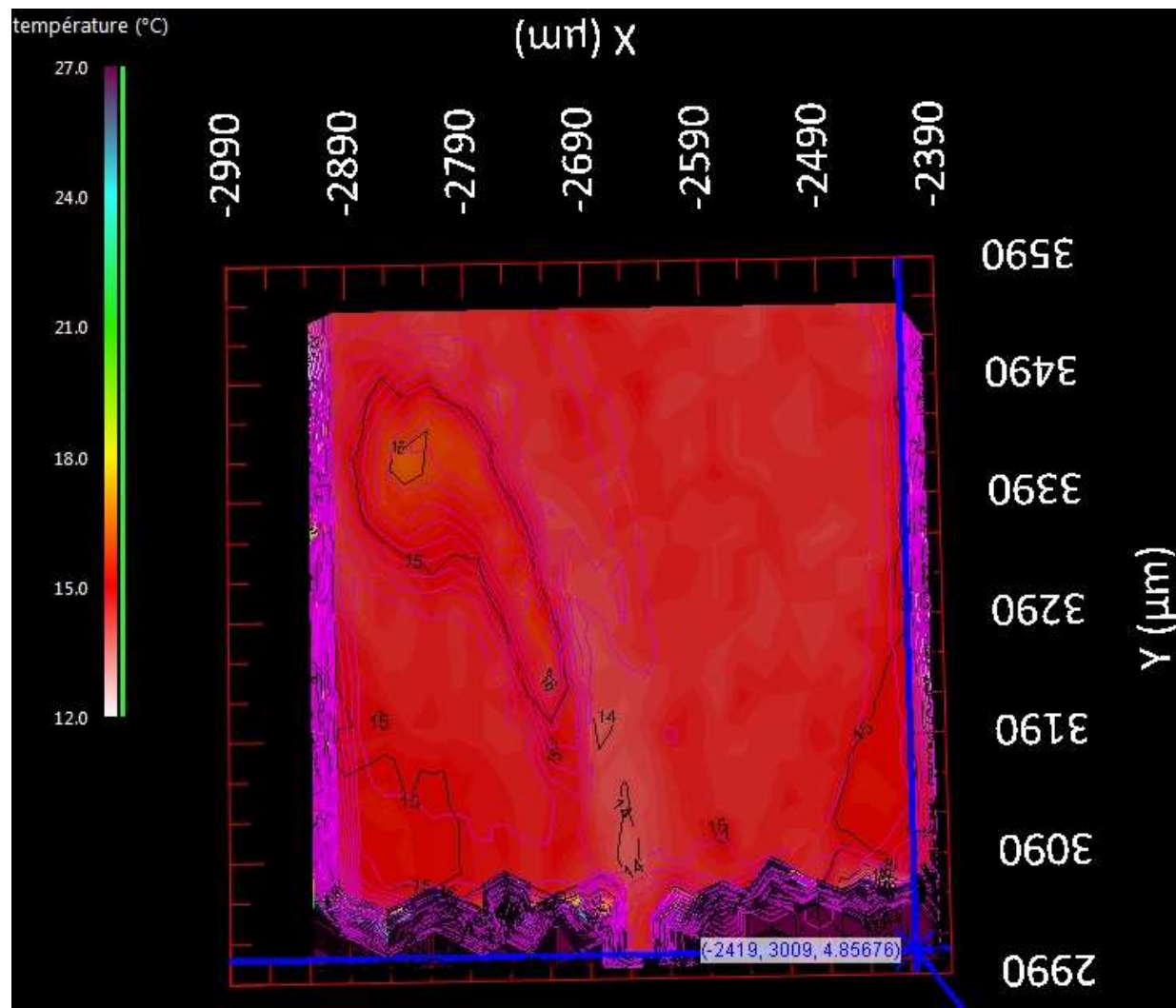
$H=124\mu\text{m}$  flow rate =  $217 \mu\text{l/s}$  ( $\Delta P = 6.2$  bars) two phase flow

$0 < Z < H = 124 \mu\text{m}$

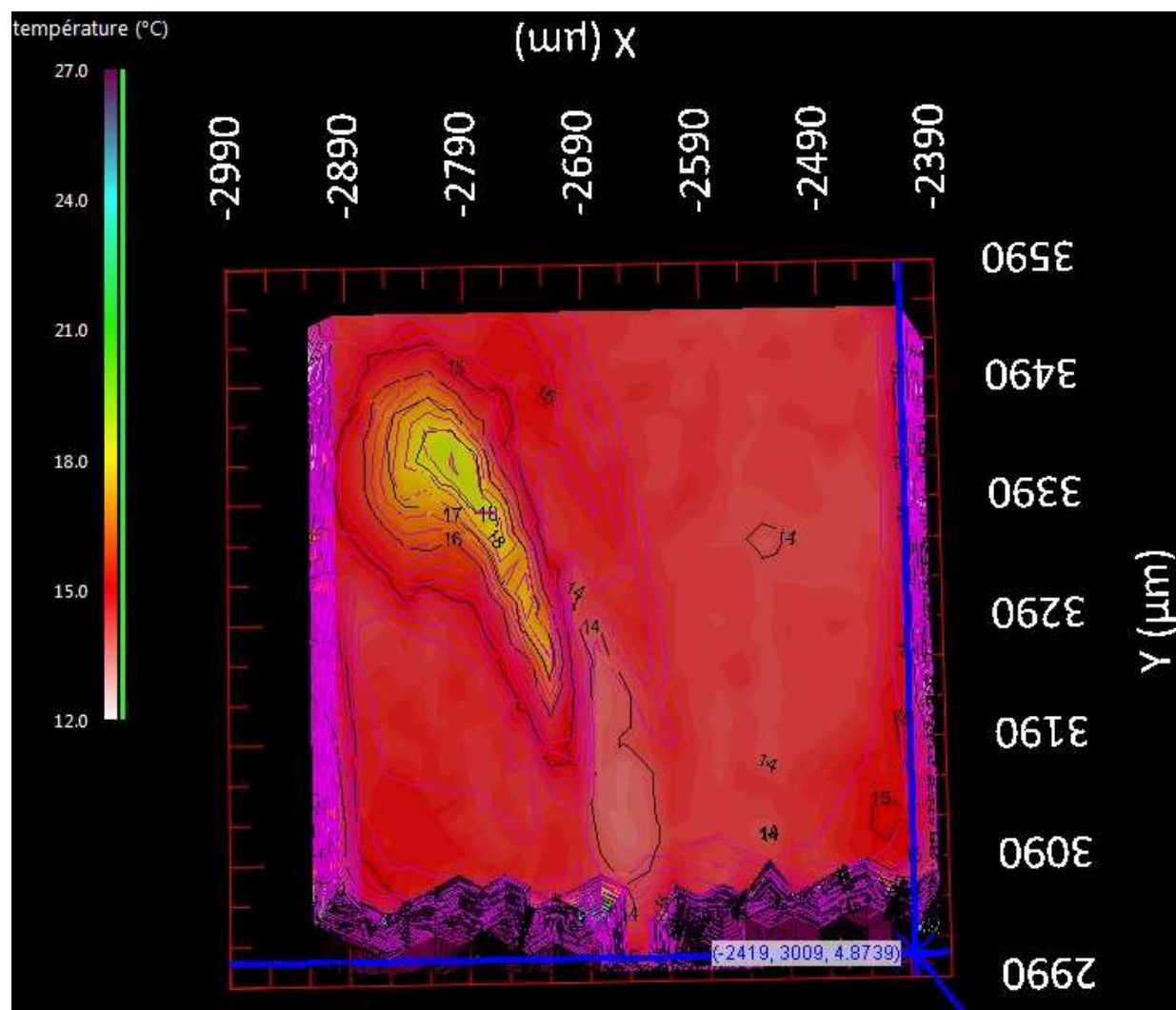
$Z = 10 \mu\text{m}$



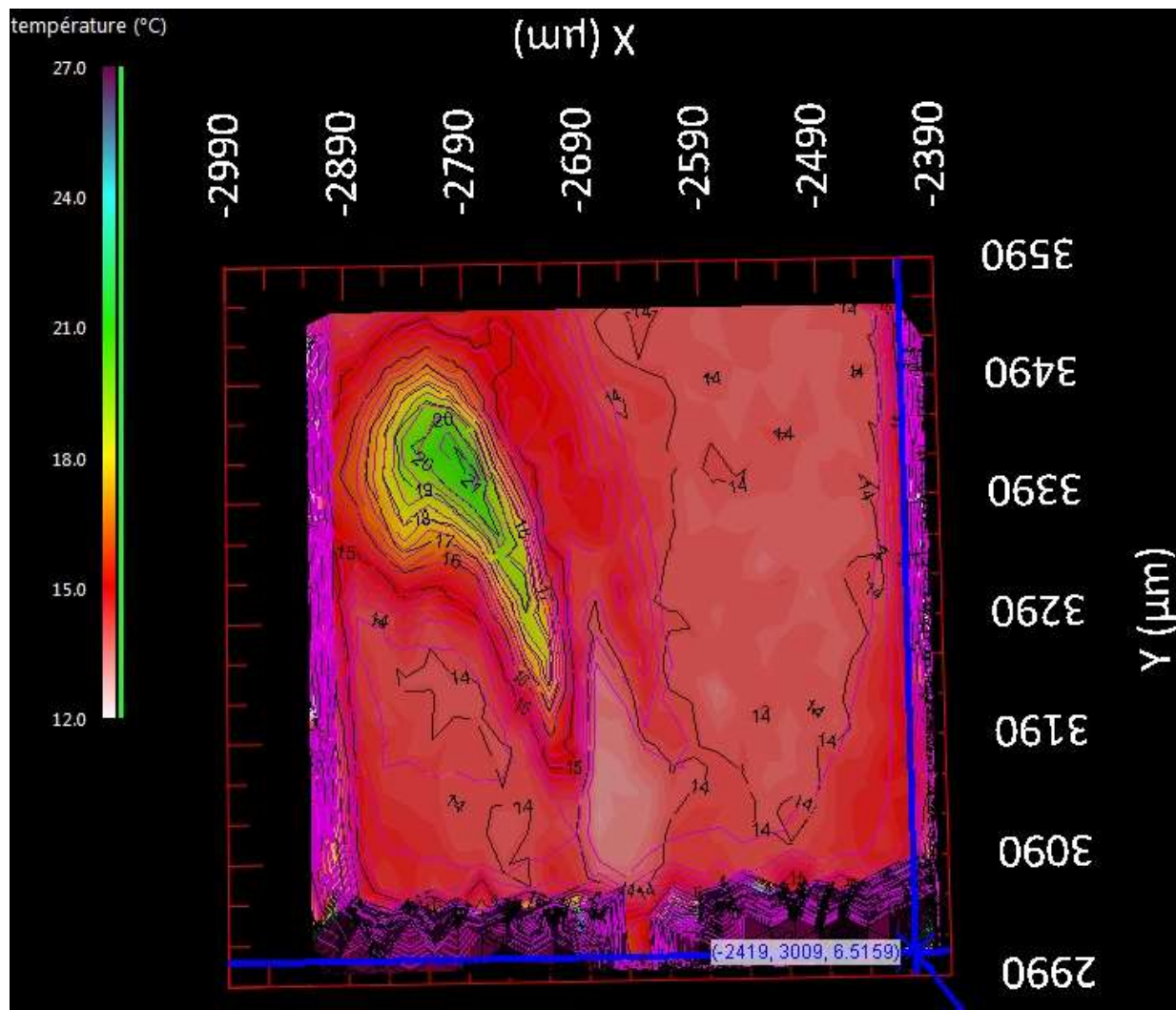
$Z = 36 \mu\text{m}$



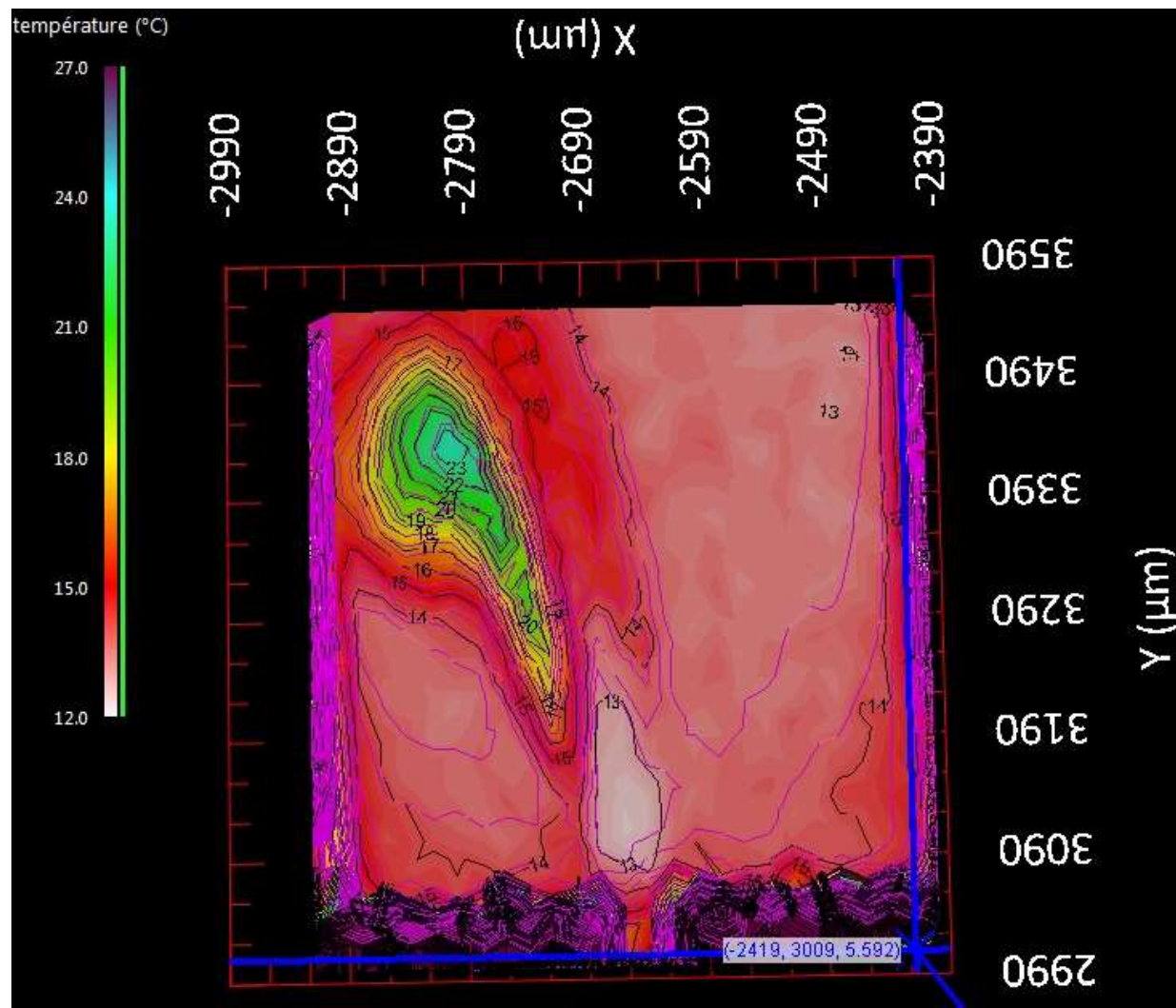
$Z = 50 \mu\text{m}$



$Z = 74 \mu\text{m}$

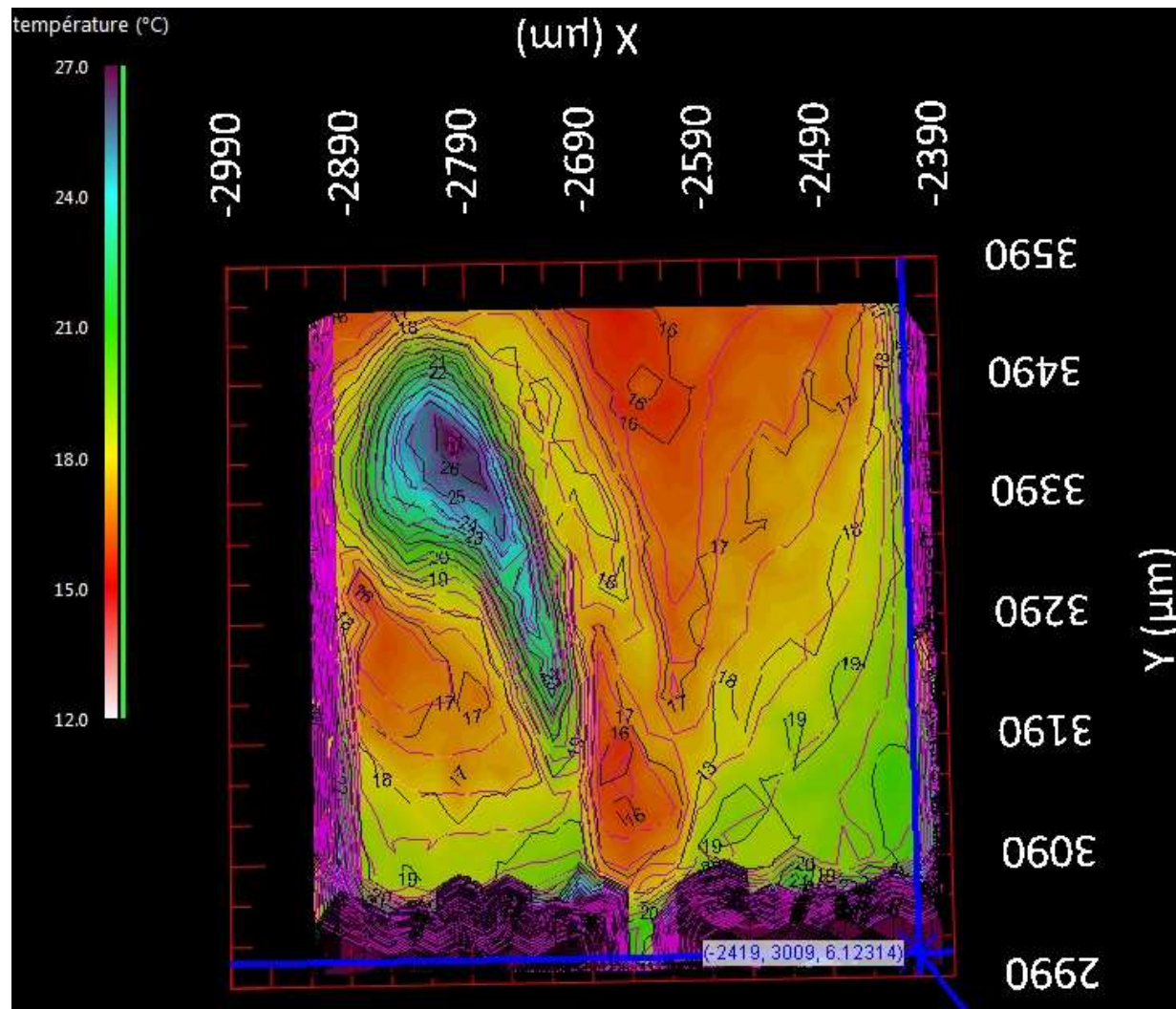


$Z = 98 \mu\text{m}$

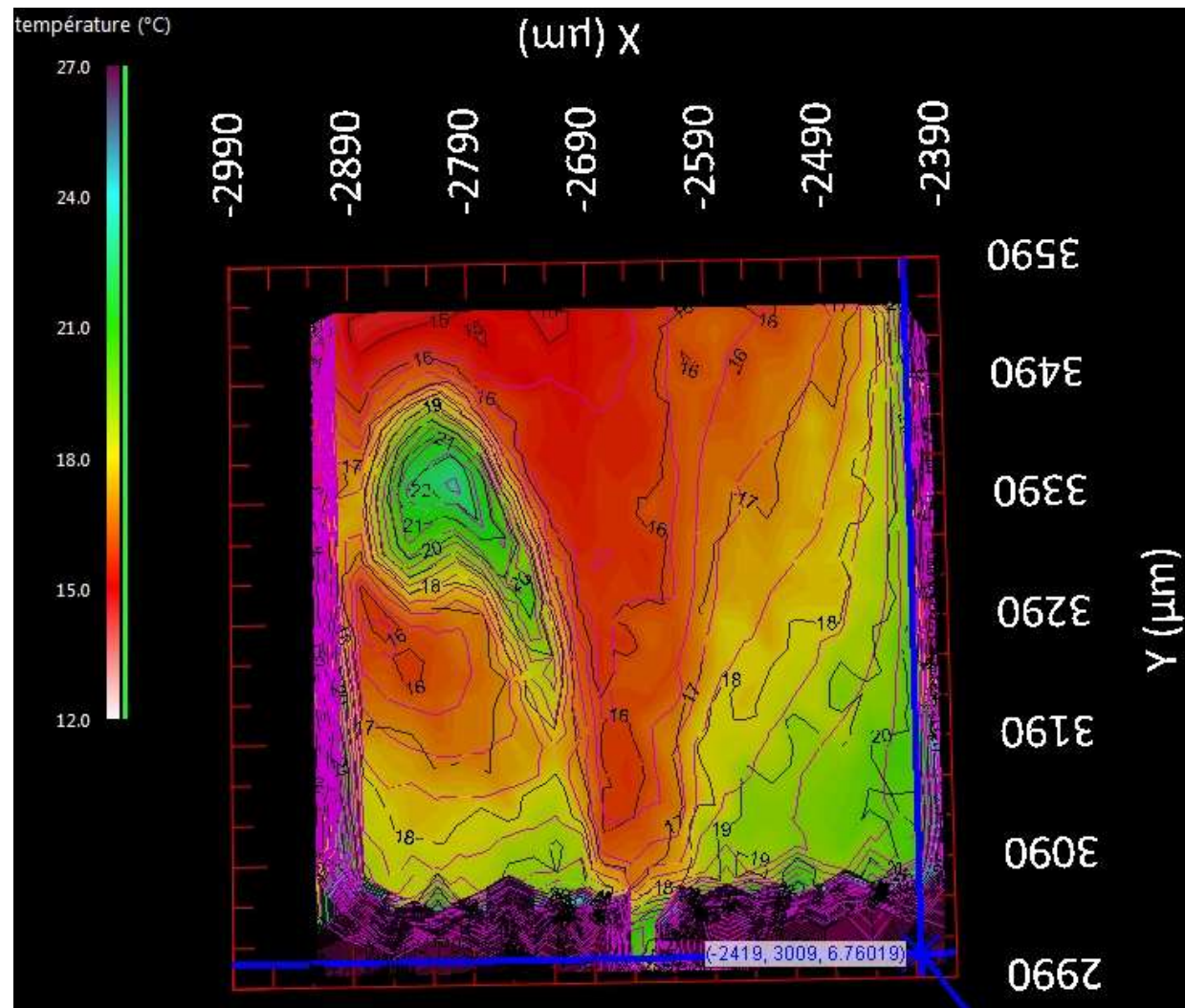


$$\Delta P = 6.2 \text{ bars}$$

$Z = 114 \mu\text{m}$

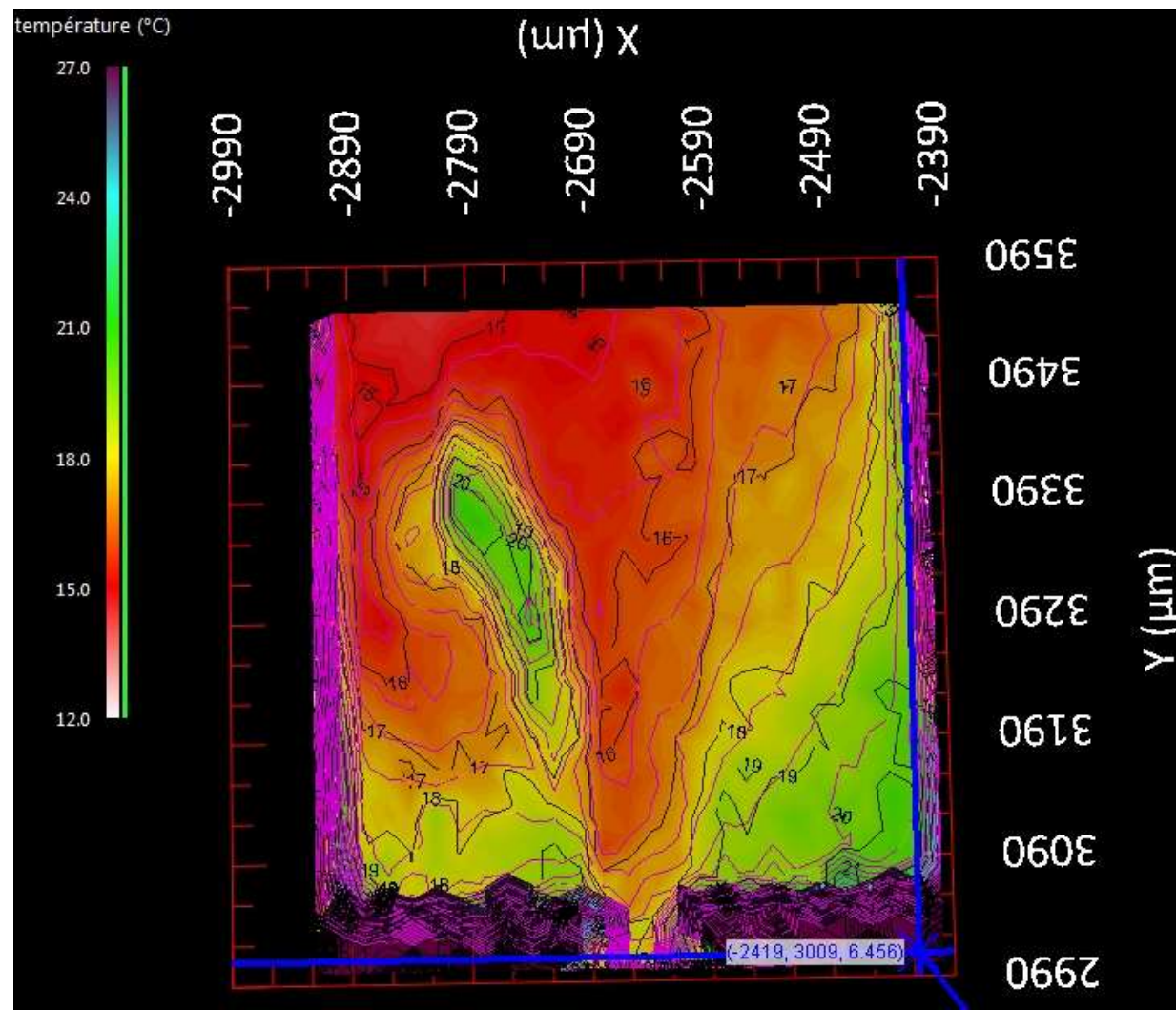


$\Delta P = 5.4$  bars



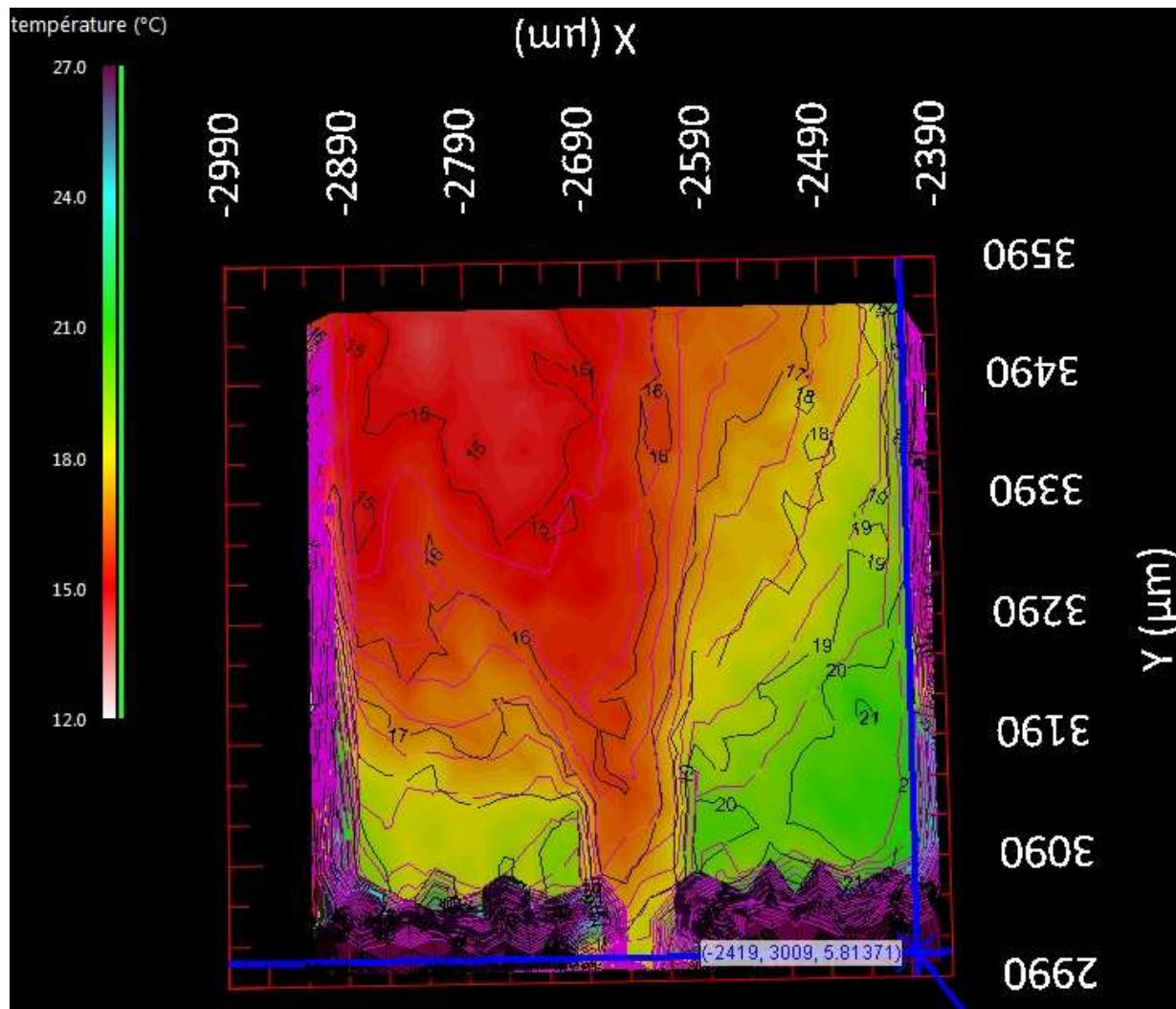
$$\Delta P = 4.2 \text{ bars}$$

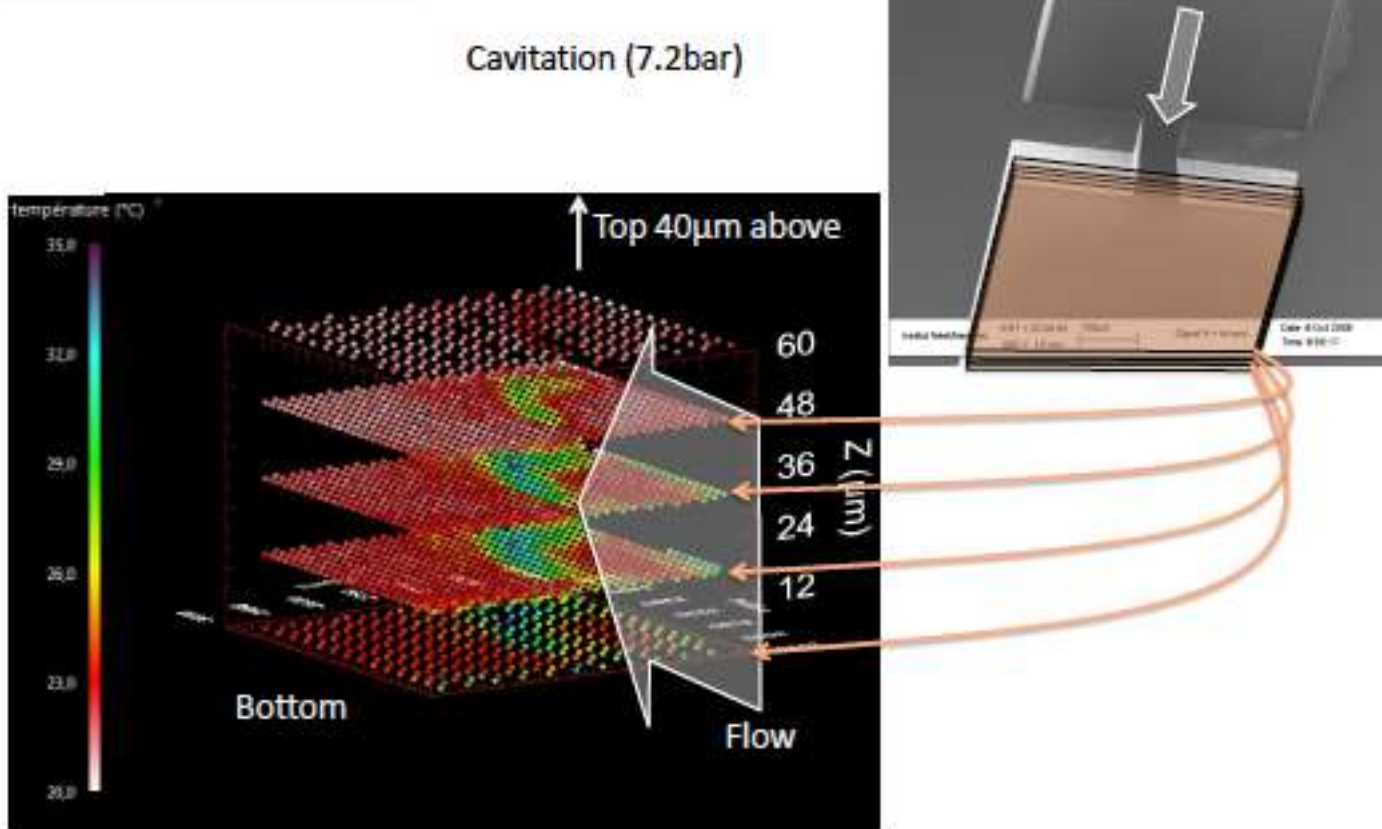
$Z = 114 \mu\text{m}$



$$\Delta P = 3.8 \text{ bars}$$

$Z = 114 \mu\text{m}$





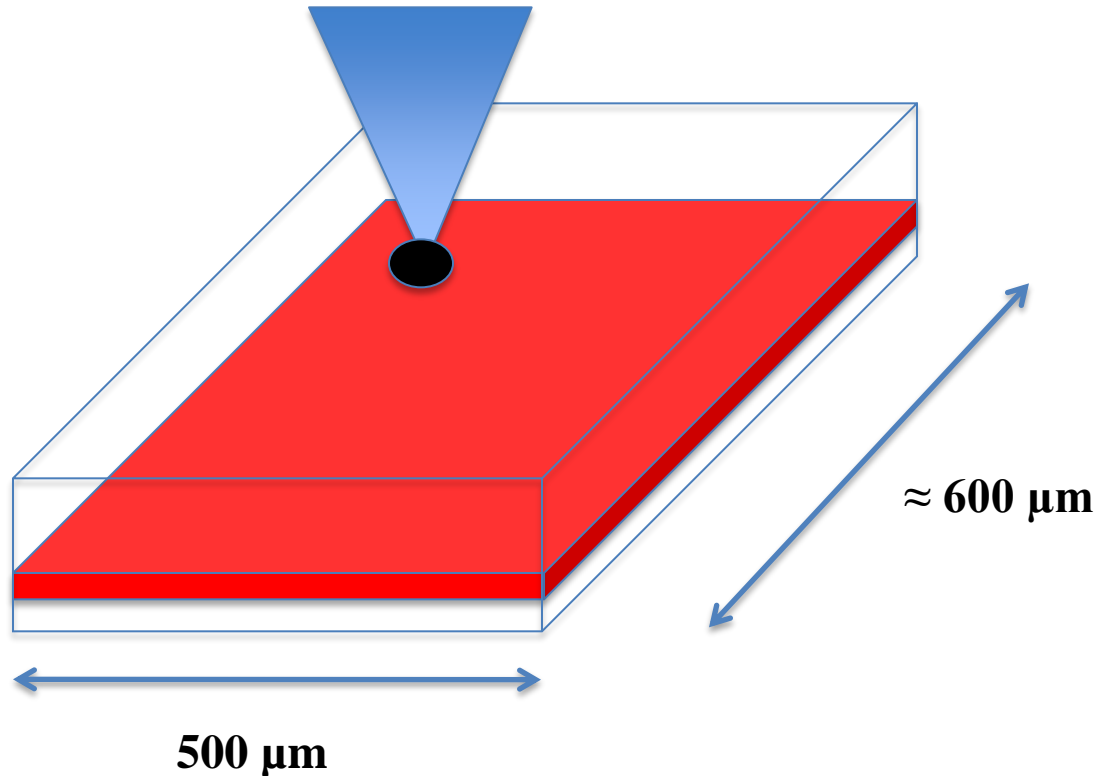
## Thermal gradient < - > cavitation ?

Real time local observation

Spot focused where  $\Delta T_{\max}$  formerly observed

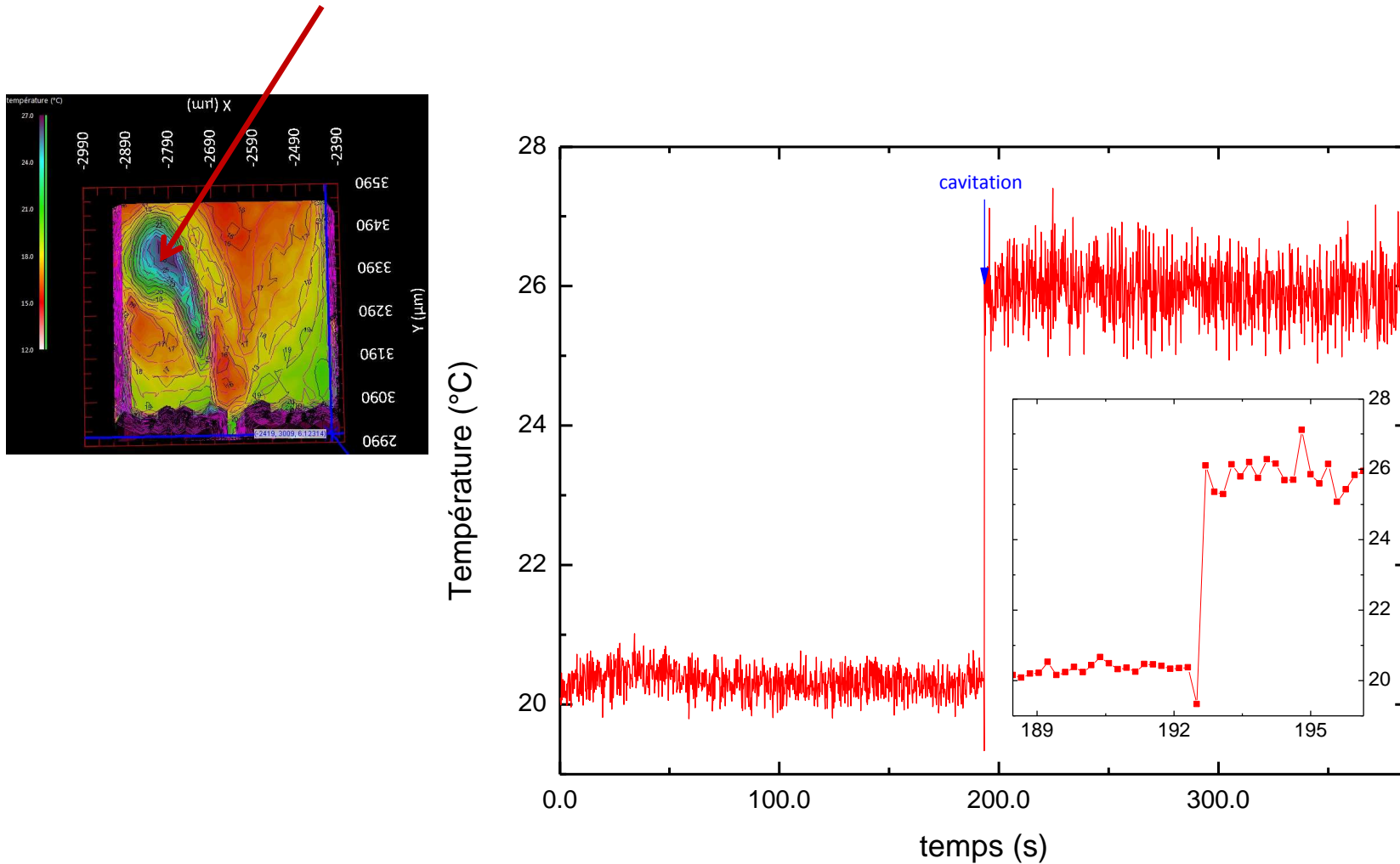
Starting from a single liquid metastable flow

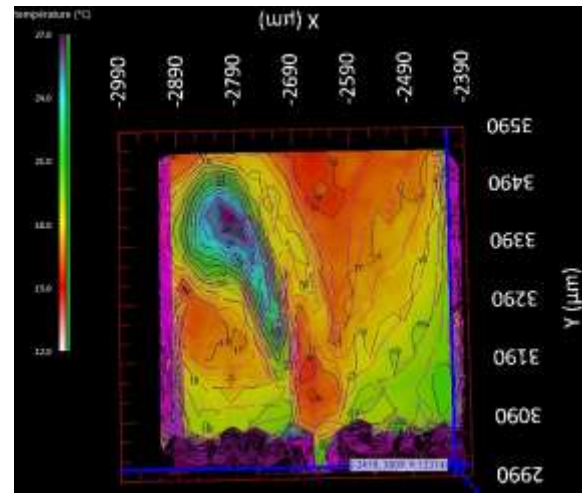
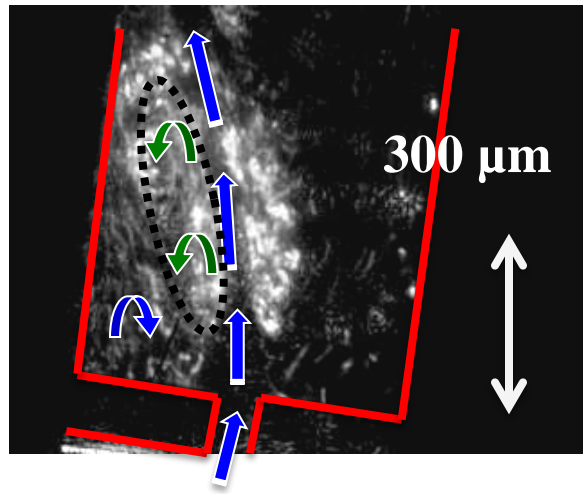
Wait and see ....

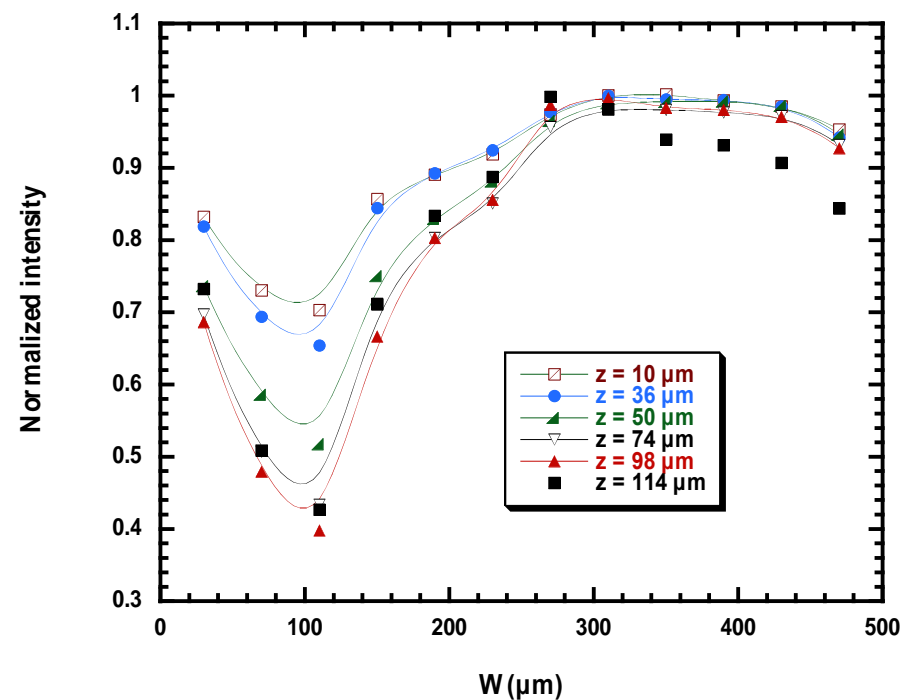
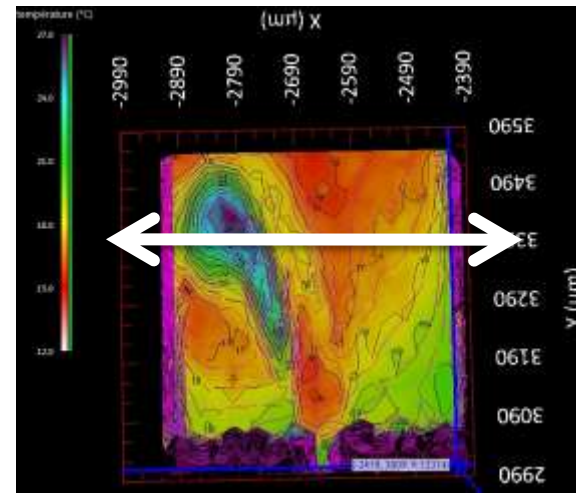
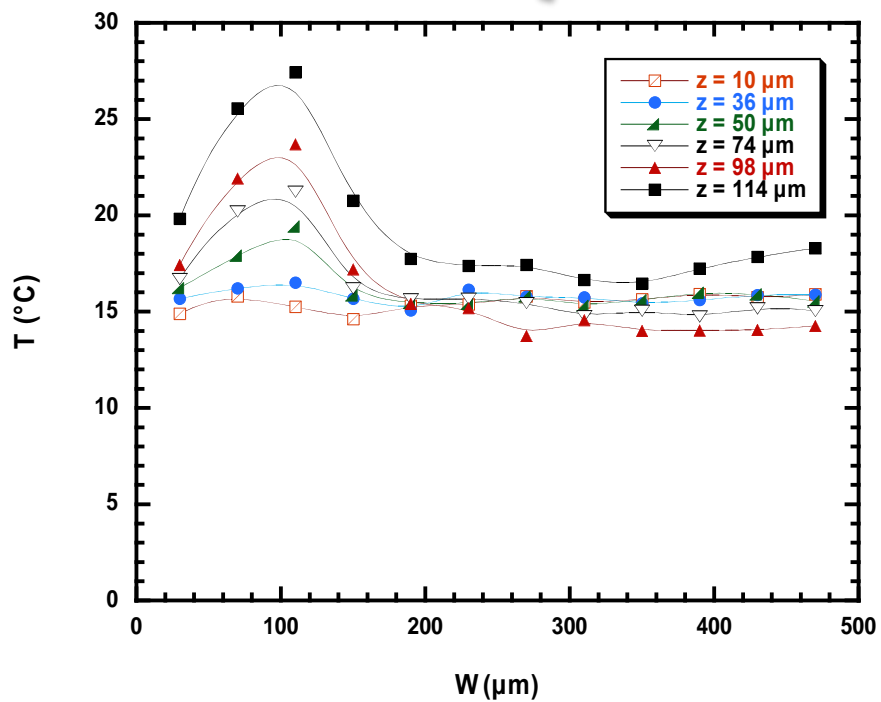
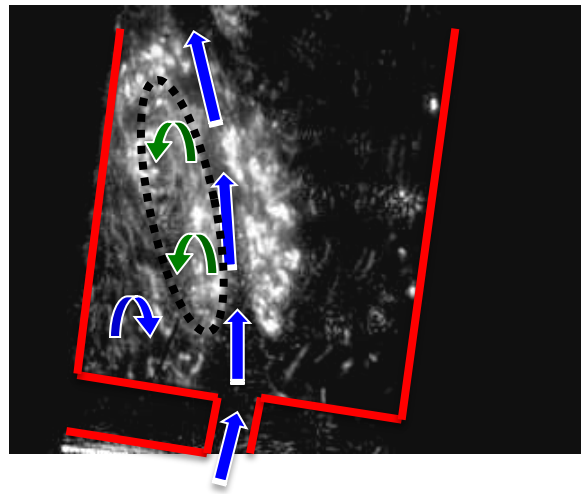


# Thermal gradient < - > cavitation ?

$\Delta P = 6.2 \text{ bar}$ , voxel under investigation







## **Cartographies thermiques**

**Manips en cours :** mesures par effet Raman ( $< 0$ )  
cartographies thermiques sur  $\mu$  -diaphragmes 'longs'  
 $\mu$  - venturis  
 $\mu$  - marche

## Cavitation 'exotique'

**butanol, isopropanol, diethyl ether, mélanges binaires ....**

eau + µ système fluidique : transition à  $Re \approx 2000$

Dans quelle(s) condition(s) : cavitation à  $Re < 2000$  (écoulement laminaire) ?

$$\text{Condition } P_{\min} < P_{\text{sat}} : D_h < \mu_l \cdot Re / (2\rho_l P_{\text{atm}})^{1/2}$$

eau :  $D_h < 140 \mu\text{m}$

butanol :  $D_h < 630 \mu\text{m}$

ether :  $D_h < 54 \mu\text{m}$

Effets thermodynamiques

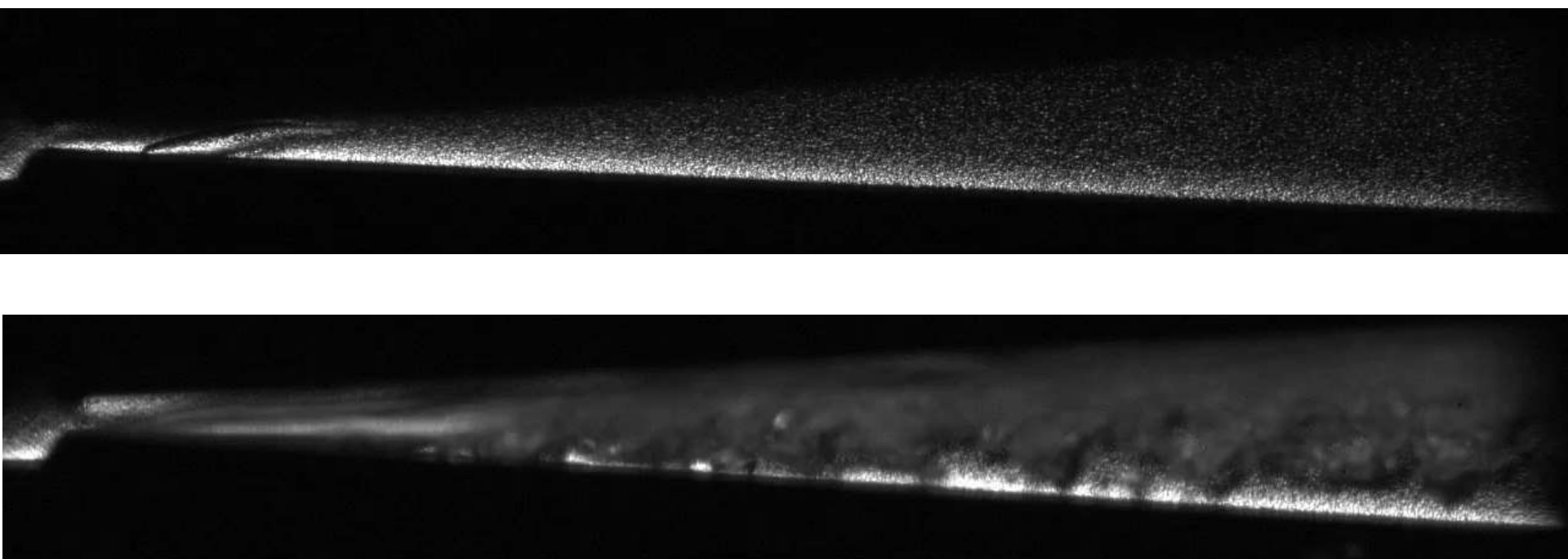
$\Delta T^\bullet (\text{K})$

eau	0,01
N2 liquide	0,6
diethyl ether	0,70
ethanol	0,90
isopropanol	0,94
butanol	1,12

## Cavitation 'exotique'

durée réelle d'enregistrement : 4 ms  
130000 images / sec

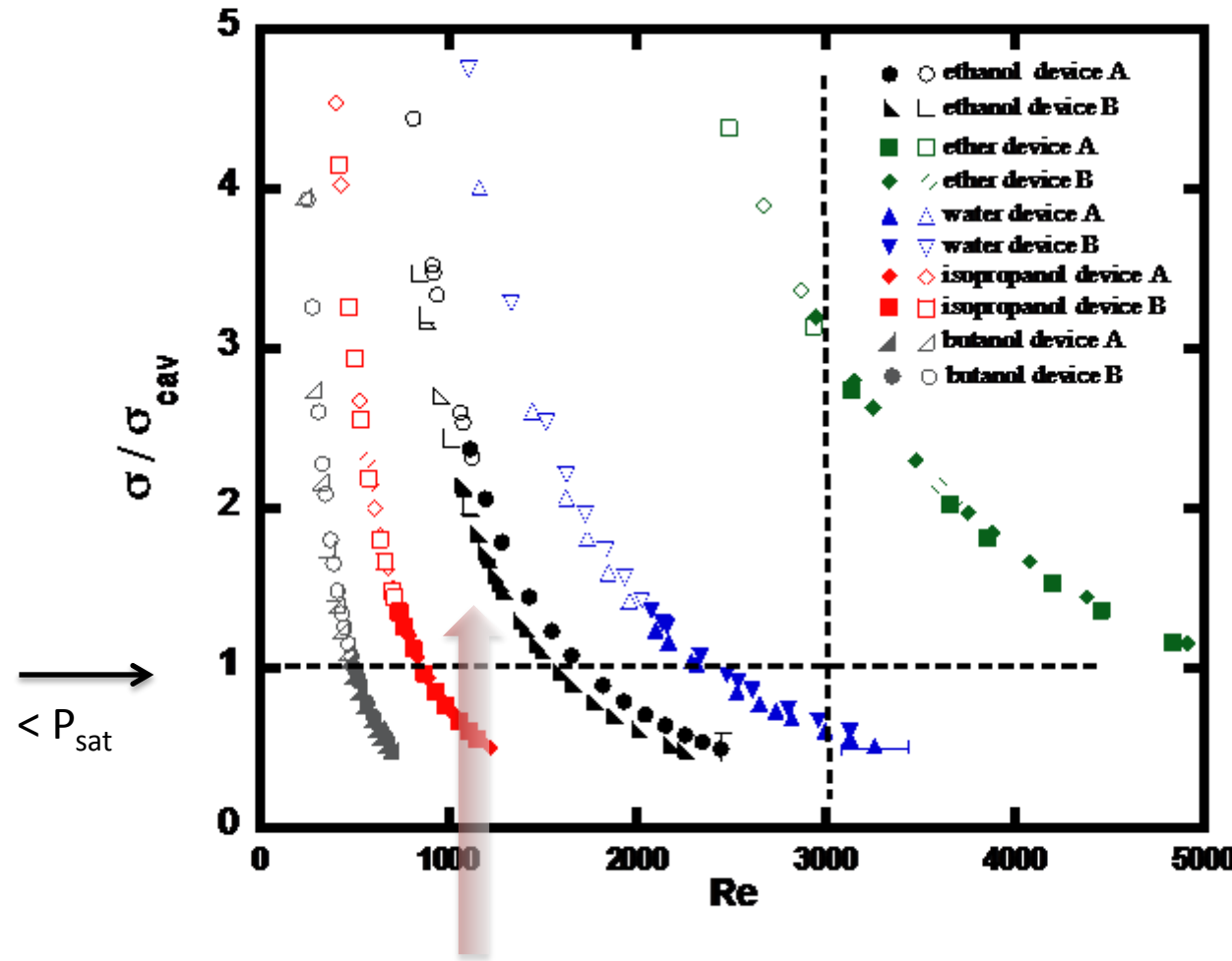
**butanol - Re = 400**



**diethyl ether pur - Re = 5000**

## Cavitation 'exotique'

tests : 2  $\mu$  diaphragmes



vides : monophasique  
pleins : diphasique

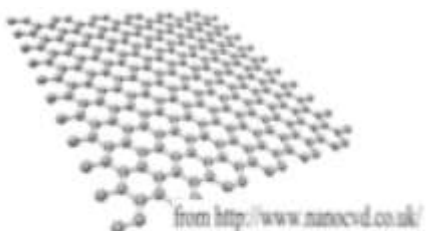
le mystère de l'éthanol : transition -> cavitation précoce

déjà observée par Péles (2005) :

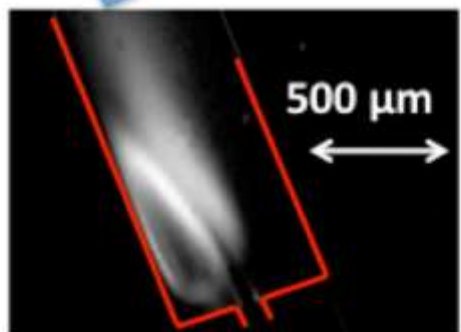
*tension surface éthanol < celle de l'eau*

*mais tension surface butanol , isopropanol  $\approx$  celle de l'éthanol ....*

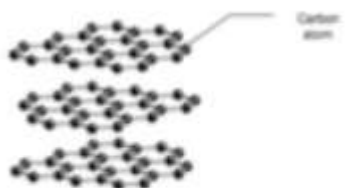
## Délamination assistée par cavitation / puce



from <http://www.nanocvd.co.uk/>



Structure of Graphite



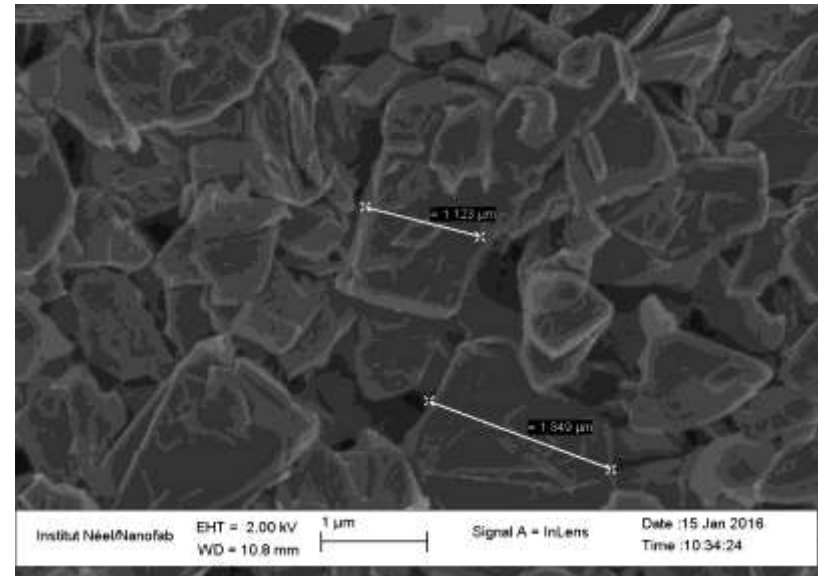
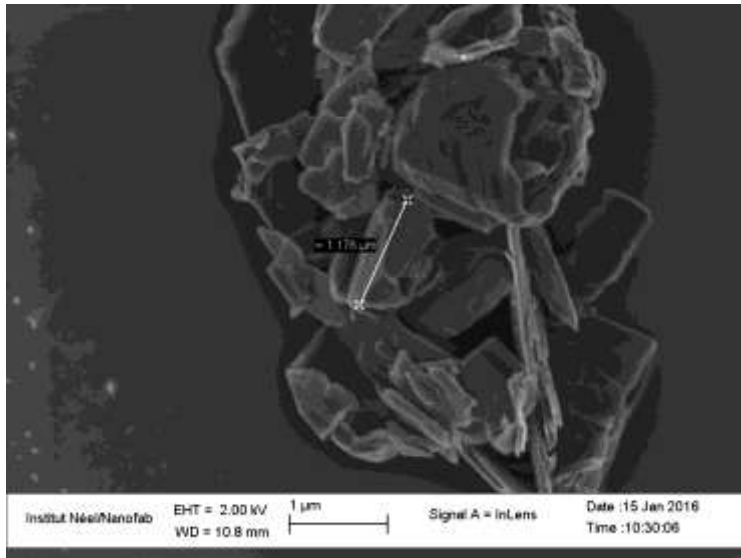
(from <http://www.ssc.ed.ac.uk>)

$$\begin{aligned}W/S \text{ (laminaire)} &\approx \mu L U_m / H \\&\approx 1 J / m^2 \\(\mu \text{système})\end{aligned}$$

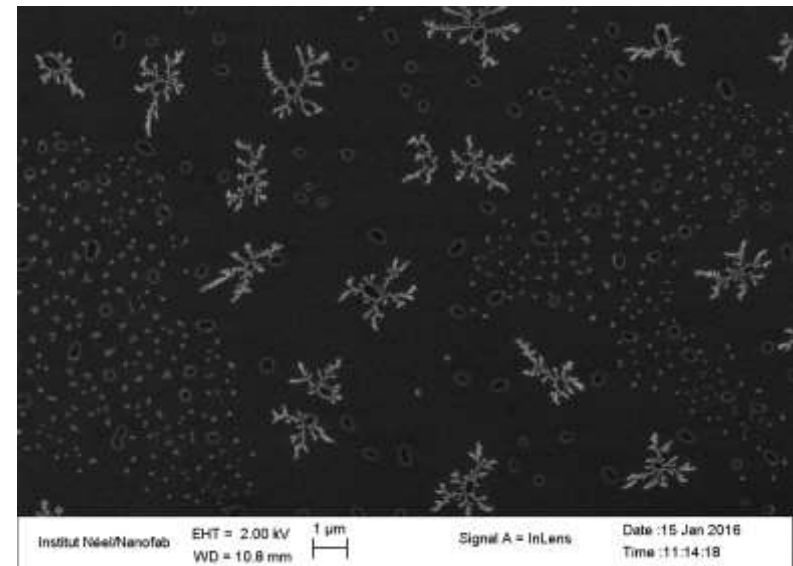
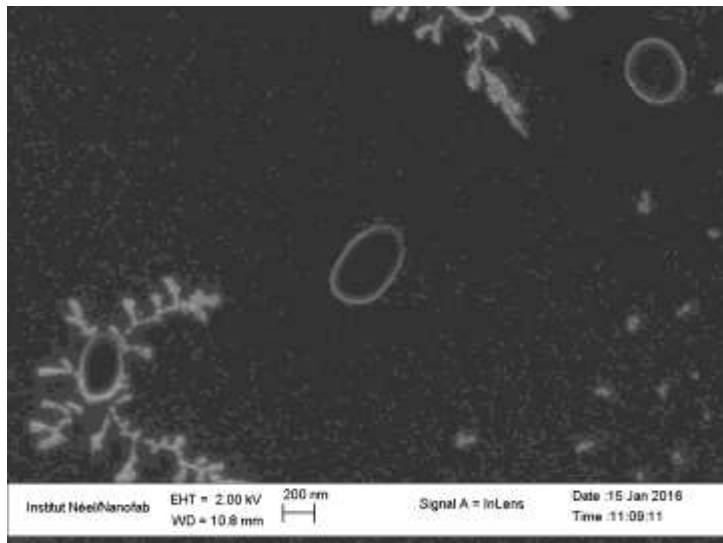
$$E \text{ liaison 2 plans : } \approx 10 \text{ kJ / mole}$$

# Délamination assistée par cavitation / puce

1 g de graphite + 600 ml H<sub>2</sub>O + 3 gouttes surfactant



6 passages 'cavitants' à  $\Delta P = 10$  bars



## Orientations futures

### Génie des procédés

#### sonochimie



$\rightarrow$  cavitation luminol (+  $\text{OH}^\circ \rightarrow h\nu$ )

#### sonoluminescence

diffusion gaz rare  
+  
 $T \approx 10000 \text{ K}$



démontré en cavitation acoustique (plusieurs cycles, bulle sphérique  $\rightarrow$  SL  
bulle asphérique  $\rightarrow$  SC

peu d'infos en cavitation hydrodynamique – pas de modèle clair

1<sup>ers</sup> essais en ‘cavitation hydro sur puce’ : RAS

## cavitation fluides cryogéniques

### Projet SBT – LEGI

-> effets thermodynamiques avec N<sub>2</sub> liquide

+CNES

**Objectif 2016 :**  
**connectique hydro - cryogénique**  
**alimenter microsystème en N<sub>2</sub> liquide**  
**démontrer cavitation hydrodynamique**